## 熱酸化における Ge(001)基板上 Ge<sub>1-x</sub>Sn<sub>x</sub>層の表面 Sn 析出に対する熱安定性

Robustness of Sn Precipitation at  $Ge_{1-x}Sn_x$  Surface on Ge(001) during Thermal Oxidation 名大院工 <sup>O</sup>加藤 公彦,浅野 孝典,田岡 紀之,坂下 満男,中塚 理,財満 鎭明 Grad. School Eng., Nagoya Univ. K. Kato, T. Asano, N. Taoka, M. Sakashita, O. Nakatsuka, S. Zaima E-mail: kkato@alice.xtal.nagoya-u.ac.jp

【はじめに】ゲルマニウムスズ混晶( $Ge_{1-x}Sn_x$ )は、8%を超える高 Sn 組成化により直接遷移化が可能であり、高性能 MOSFET のチャネル材料として注目を集めている [1,2]。また、これまで我々は、価電子帯端近傍の界面準位密度の減少に対し、 $Ge_{1-x}Sn_x$  の熱酸化が有望であることを見出した[3]。一方、Sn の平衡固溶限界は非常に小さく( $\sim$ 1 at. $\sim$ 4)、 $Ge_{1-x}Sn_x$  層表面における Sn の偏析や析出は、Sn の性能に大きく影響を与えると考えられる。しかしながら、平衡固溶限界を超えて Sn 結晶中に取り込まれた Sn の熱プロセスに伴う表面析出現象は十分に理解されていない。そこで、本研究では、Sn を基板上にエピタキシャル成長した高 Sn 組成 Sn の無のでは、Sn の無の歪構造や表面における Sn 析出に与える影響を明らかにした。

【実験手順】化学洗浄および真空中熱処理を施した p-Ge(001)基板上に、分子線エピタキシ法により、基板温度 150°C において、Ge 基板に格子整合した厚さ 30 nm の  $Ge_{1-x}Sn_x$  層を形成した。続いて、 $Ge_{1-x}Sn_x$  層表面の自然酸化膜を希フッ酸により除去し、熱酸化を施した。酸化温度は  $400\sim600$ °C、酸化時間は  $1\sim10$  min であり、Ge 基板を約 2 nm 酸化する時間に統一した。

【結果および考察】熱酸化前後の  $Ge_{1-x}Sn_x/Ge$  試料における  $Ge_{1-x}Sn_x$ 層の平均的な結晶構造を、X 線回折(XRD) $\omega$ -2 $\theta$ プロファイルより評価した(Fig. 1)。Ge(001)基板上に格子整合した  $Ge_{1-x}Sn_x$  層の弾性変形を仮定した場合、 $Ge_{1-x}Sn_x$  層に起因する回折ピーク位置から、熱酸化前の  $Ge_{1-x}Sn_x$  層の Sn 組成 ( $Cs_{n-XRD}$ ) は 2、4、および 9%と見積もられた。9%の高 Sn 組成を有する試料において、熱酸化に伴う  $Ge_{1-x}Sn_x$  の結晶構造変化に着目すると、 $400^{\circ}C$  で熱酸化を施した試料においては、ピークの半値幅が僅かに増大することがわかる。しかしながら、回折ピーク角には顕著な変化は見られない。よって、Sn 組成揺らぎの増大が示唆されるものの、 $Ge_{1-x}Sn_x$  層は Ge 基板上に安定に格子整合していると考えられる。一方、 $Ge_{1-x}Sn_x$  の 無酸化後においては、回折ピーク角が増大する。二次元逆格子マッピングを併せた評価より、この回折角の増大は、層中の Sn 組成減少によるものと考えられる。

熱酸化に伴う  $Ge_{1-x}Sn_x$ 層表面 Sn 組成の変化を、X 線光電子分光 (XPS) 法により評価した (Fig. 2)。使用した励起 X 線は  $MgK\alpha$  線 (hv =1254 eV) であり、光電子の平均自由行程は 3 nm 以下と小さいため、XPS は表面敏感な測定である。熱酸化前の試料において、XPS により評価した Sn 組成( $C_{Sn-XPS}$ )は  $C_{Sn-XRD}$  に比べて約 2 倍大きい。 $Ge_{1-x}Sn_x$  層表面近傍においては、熱酸化前に既に Sn が偏析していると考えられる。しかしながら、この  $C_{Sn-XPS}$  は、 $500^{\circ}$ C 以下の熱酸化においてはほとんど変化せず、高い安定性を有することがわかる。また、 $C_{Sn-XRD}$  が 2%の試料においては、熱酸化温度が  $600^{\circ}$ C の場合においても  $C_{Sn-XPS}$  に顕著な変化は見られず、Sn の表面析出や偏析は生じていないと考えられる。一方、 $C_{Sn-XRD}$  が 9%の試料においては、 $600^{\circ}$ C の熱酸化に伴い  $C_{Sn-XPS}$  が顕著に増大する。よって、9%の高 Sn 組成を有する  $Ge_{1-x}Sn_x$  層においては、熱酸化温度が  $600^{\circ}$ C に増大した際に、層中から層表面への Sn の 拡散および Sn の析出が生じることが、XRD および XPS を用いた評価より明らかとなった。

[1] S. Gupta et al., Tech. Dig. IEDM 2011, p. 398. [2] K. L. Low et al., J. Appl. Phys. 112 (2012) 103715. [3] K. Kato et al., Abstr. of IWDTF, p. 99 (2013).

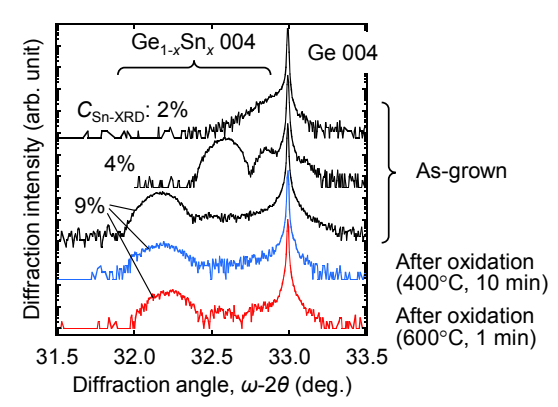


Fig. 1 XRD out-of plane  $\omega$ -2 $\theta$  profiles of the Ge<sub>1-x</sub>Sn<sub>x</sub>/Ge samples before and after oxidation.

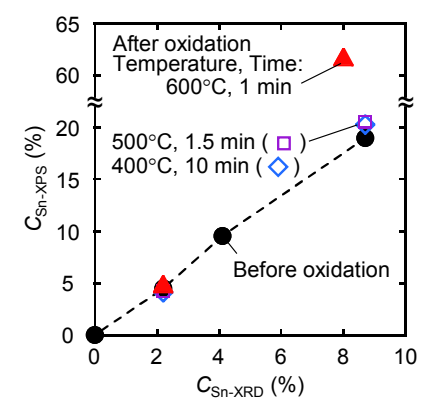


Fig. 2 Relationship of Sn content of the  $Ge_{1-x}Sn_x$  layer evaluated by XRD and XPS.